

# Modèles intégrables de spins, vertex et boucles

Paul Melotti

sous la direction de Cédric Boutillier et Béatrice Tilière

LPSM – Sorbonne Université

28/06/2019

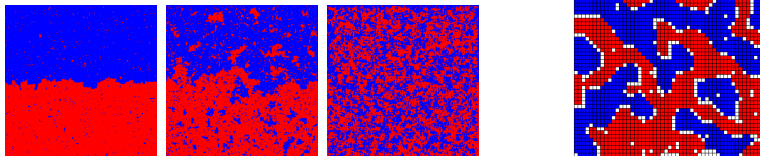
- 1 Introduction
- 2 Modèle à huit sommets
- 3 Récurrence de Kashaev
- 4 « Triangle-étoile » et géométrie discrète

# « Modèles » : la mécanique statistique

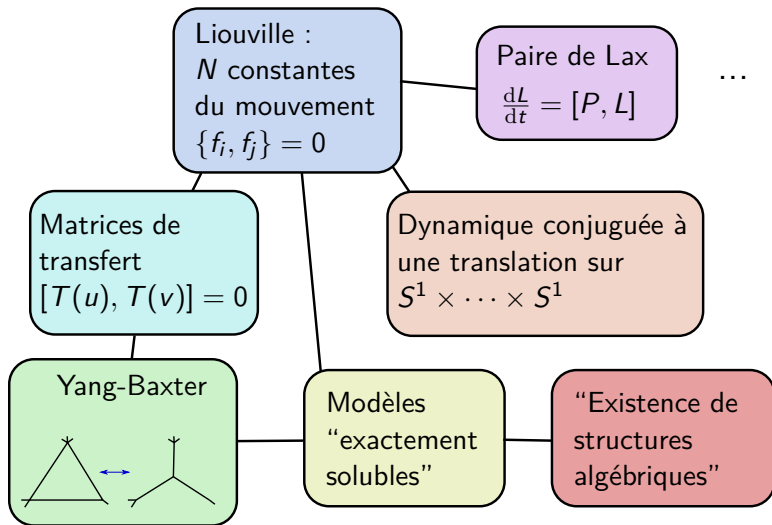
But : décrire un système possédant un grand nombre de degrés de liberté.

Boltzmann : état **aléatoire**  $\sigma$ , à la température inverse  $\beta = \frac{1}{k_B T}$  et pour l'**énergie**  $E(\sigma)$ , donné par :

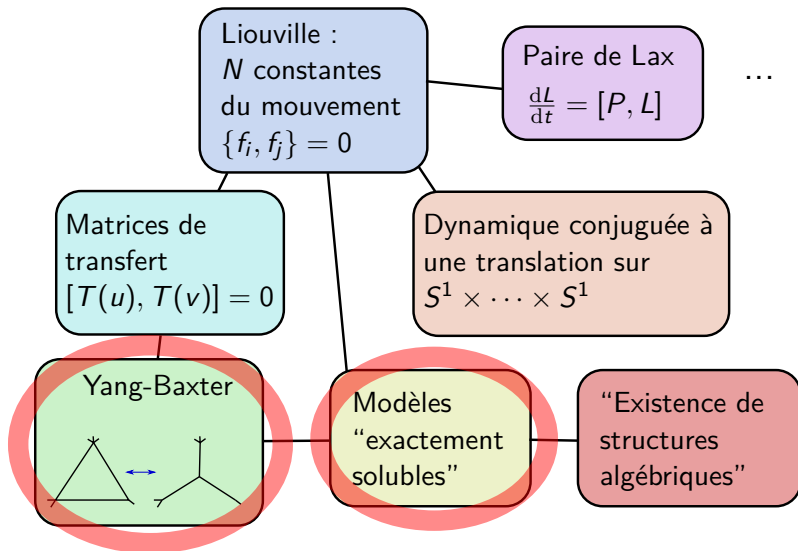
$$\mathbb{P}(\sigma) = \frac{1}{Z} \exp[-\beta E(\sigma)].$$



# « Intégrables » ?

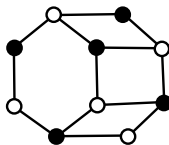


# « Intégrables » ?



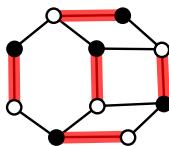
# Modèle de dimères

$G = (V, E)$  un graphe planaire,  
muni des poids positifs  $(\nu_e)_{e \in E}$ .



# Modèle de dimères

$G = (V, E)$  un graphe planaire,  
muni des poids positifs  $(\nu_e)_{e \in E}$ .



**Configuration de dimères :**

sous-ensemble d'arêtes  $m \subset E$  tel que tout sommet touche une et une seule arête de  $m$ . Poids d'une configuration :

$$w_{\text{dim}}(m) = \prod_{e \in m} \nu_e.$$

Probabilité de Boltzmann :

$$\mathbb{P}(m) = \frac{w_{\text{dim}}(m)}{Z_{\text{dim}}(G; \nu)}.$$

Fonction de partition :

$$Z_{\text{dim}}(G; \nu) = \sum_m \prod_{e \in m} \nu_e.$$

# Théorème de Kasteleyn

On suppose  $G$  plane et **biparti**;  $V = W \sqcup B$ . Si on oriente les arêtes de  $G$ , on peut définir une matrice d'adjacence orientée et pondérée  $K = (K_{w,b})_{w \in W, b \in B}$  :

$$K_{w,b} = \begin{cases} \nu_e & \text{si } w \xrightarrow{e} b, \\ -\nu_e & \text{si } w \xleftarrow{e} b, \\ 0 & \text{sinon.} \end{cases}$$



# Théorème de Kasteleyn

On suppose  $G$  plane et **biparti**;  $V = W \sqcup B$ . Si on oriente les arêtes de  $G$ , on peut définir une matrice d'adjacence orientée et pondérée  $K = (K_{w,b})_{w \in W, b \in B}$  :

$$K_{w,b} = \begin{cases} \nu_e & \text{si } w \circ \xrightarrow{e} \bullet b, \\ -\nu_e & \text{si } w \circ \xleftarrow{e} \bullet b, \\ 0 & \text{sinon.} \end{cases}$$

Théorème [Kasteleyn, Temperley-Fisher; 1961]

Il existe une orientation telle que

$$Z_{dim}(G; \nu) = \det K.$$

# Théorème de Kasteleyn

On suppose  $G$  planaire et **biparti**;  $V = W \sqcup B$ . Si on oriente les arêtes de  $G$ , on peut définir une matrice d'adjacence orientée et pondérée  $K = (K_{w,b})_{w \in W, b \in B}$  :

$$K_{w,b} = \begin{cases} \nu_e & \text{si } w \circ \xrightarrow{e} \bullet b, \\ -\nu_e & \text{si } w \circ \xleftarrow{e} \bullet b, \\ 0 & \text{sinon.} \end{cases}$$

Théorème [Kasteleyn, Temperley-Fisher; 1961]

Il existe une orientation telle que

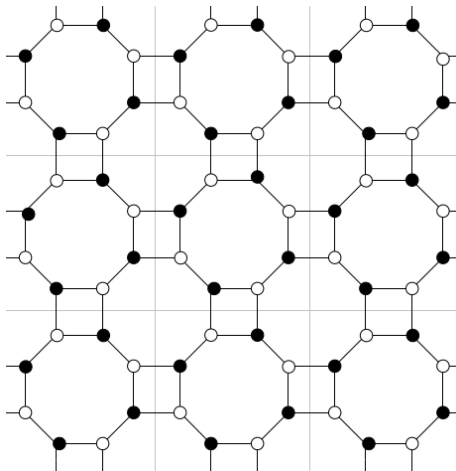
$$Z_{dim}(G; \nu) = \det K.$$

Et si «  $G \rightarrow \infty$  » ?

**Énergie libre** :  $\lim_{G \rightarrow \infty} -\frac{1}{|G|} \log [Z_{dim}(G; \nu)] ?$

# Limite thermodynamique des dimères bipartis

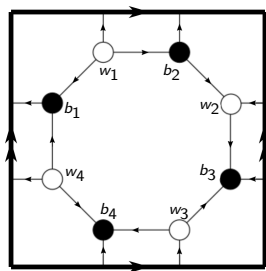
$G$  est planaire, biparti,  $\mathbb{Z}^2$ -périodique.



# Limite thermodynamique des dimères bipartis

$G$  est planaire, biparti,  $\mathbb{Z}^2$ -périodique.

$G_1 = G/\mathbb{Z}^2$ , et  $K_1$  sa matrice d'adjacence pondérée orientée.



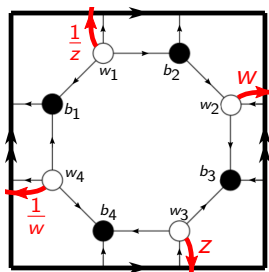
$$K_1 = \begin{pmatrix} 1 & 1 & 0 & 1 \\ -1 & -1 & 1 & 0 \\ 0 & -1 & 1 & 1 \\ 1 & 0 & 1 & 1 \end{pmatrix}$$

# Limite thermodynamique des dimères bipartis

$G$  est planaire, biparti,  $\mathbb{Z}^2$ -périodique.

$G_1 = G/\mathbb{Z}^2$ , et  $K_1$  sa matrice d'adjacence pondérée orientée.

Pour tout  $z, w \in \mathbb{C}$ ,  $K_1(z, w)$  une matrice modifiée selon l'homologie.



$$K_1(z, w) = \begin{pmatrix} 1 & 1 & 0 & 1/z \\ -1 \times w & -1 & 1 & 0 \\ 0 & -1 \times z & 1 & 1 \\ 1 & 0 & 1/w & 1 \end{pmatrix}$$

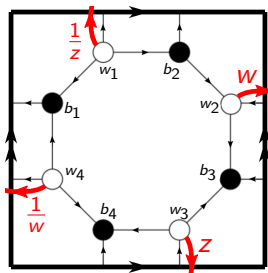
# Limite thermodynamique des dimères bipartis

$G$  est planaire, biparti,  $\mathbb{Z}^2$ -périodique.

$G_1 = G/\mathbb{Z}^2$ , et  $K_1$  sa matrice d'adjacence pondérée orientée.

Pour tout  $z, w \in \mathbb{C}$ ,  $K_1(z, w)$  une matrice modifiée selon l'homologie.

$P(z, w) = \det K_1(z, w)$  est le **polynôme caractéristique**.



$$P(z, w) = 5 - z - \frac{1}{z} - w - \frac{1}{w}.$$

# Limite thermodynamique des dimères bipartis

$G$  est planaire, biparti,  $\mathbb{Z}^2$ -périodique.

$G_1 = G/\mathbb{Z}^2$ , et  $K_1$  sa matrice d'adjacence pondérée orientée.

Pour tout  $z, w \in \mathbb{C}$ ,  $K_1(z, w)$  une matrice modifiée selon l'homologie.

$P(z, w) = \det K_1(z, w)$  est le **polynôme caractéristique**.

**Théorème [Cohn-Kenyon-Propp 2001, Kenyon-Okounkov-Sheffield 2006]**

Soit  $G_n = G/(n\mathbb{Z})^2$ .

$$\lim_{n \rightarrow \infty} -\frac{1}{n^2} \log (Z_{\dim}(G_n, \mu)) = \frac{1}{(2i\pi)^2} \int_{\mathbb{T}^2} \log |P(z, w)| \frac{dz}{z} \frac{dw}{w}.$$

# Corrélations

Cas infini : si  $G$  est planaire, biparti,  $\mathbb{Z}^2$ -périodique :

Lorsque  $n \rightarrow \infty$ , les mesures de Boltzmann sur  $G_n$  ont une limite :  
c'est une **mesure de Gibbs ergodique** sur le graphe infini  $G$ .



# Corrélations

Cas infini : si  $G$  est planaire, biparti,  $\mathbb{Z}^2$ -périodique :

Lorsque  $n \rightarrow \infty$ , les mesures de Boltzmann sur  $G_n$  ont une limite : c'est une **mesure de Gibbs ergodique** sur le graphe infini  $G$ .

**Théorème [Cohn-Kenyon-Propp 2001, Kenyon-Okounkov-Sheffield 2006]**

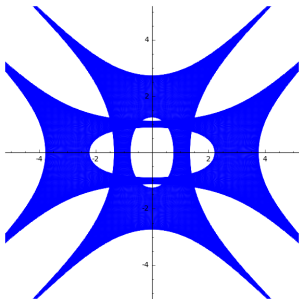
Soient  $e_1 = \{w_1, b_1\}, \dots, e_k = \{w_k, b_k\}$  des arêtes de  $G$ . La probabilités qu'elles soient toutes présentes est

$$\mathbb{P}(e_1, \dots, e_k \in m) = \left( \prod_{i=1}^k K_{w_i, b_i} \right) \det \left( K_{b_i, w_j}^{-1} \right)_{1 \leq i, j \leq k}$$

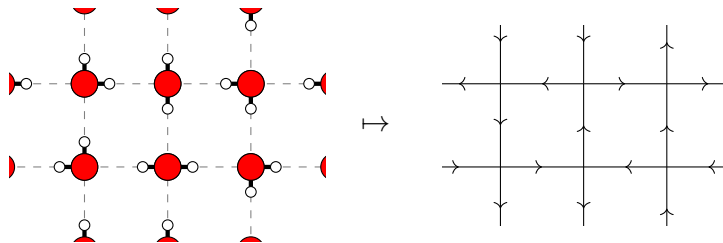
où

$$K_{b, w+(n, m)}^{-1} = \frac{1}{(2i\pi)^2} \int_{\mathbb{T}^2} \frac{[{}^t \text{Com} K_1(z, w)]_{b, w}}{P(z, w)} z^n w^m \frac{dz}{z} \frac{dw}{w}.$$

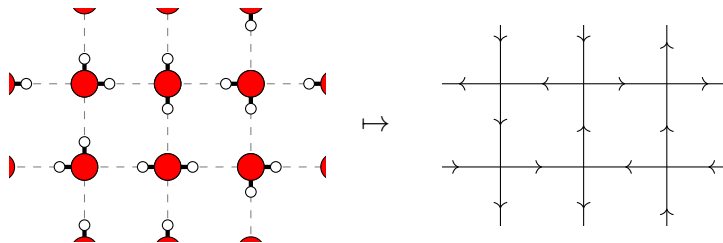
# I - Le modèle à huit sommets « free-fermion »



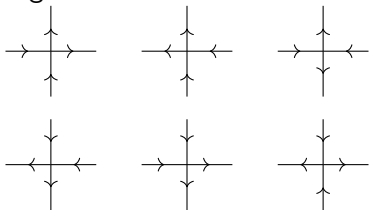
# Un modèle de glace : le modèle à six sommets



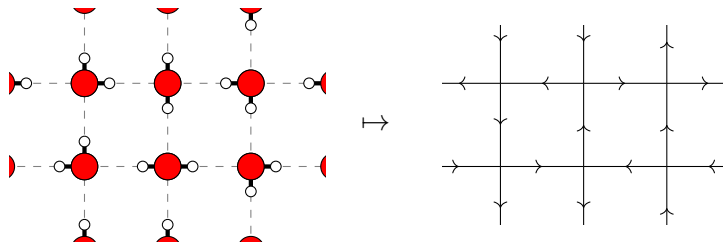
# Un modèle de glace : le modèle à six sommets



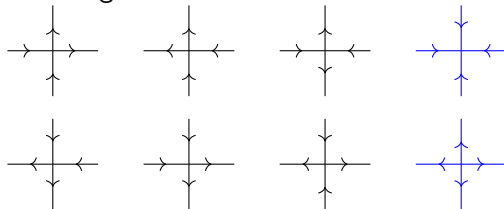
Six configurations locales ou « sommets » :



# Un modèle de glace : le modèle à huit sommets



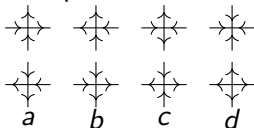
Six configurations locales ou « sommets » :



...huit sommets si on introduit des défauts.

# Le modèle à huit sommets (*eight-vertex*)

On fixe  $a, b, c, d > 0$  les poids locaux des six configurations :

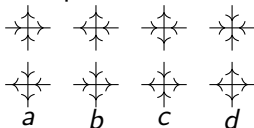


Sur une portion finie  $G$  de  $\mathbb{Z}^2$ , une orientation  $\tau$  qui satisfait ces règles a pour *poids*

$$w(\tau) = a^{N_a} b^{N_b} c^{N_c} d^{N_d}.$$

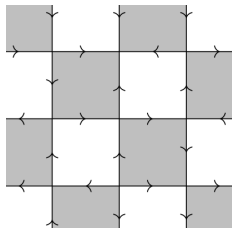
# Le modèle à huit sommets (*eight-vertex*)

On fixe  $a, b, c, d > 0$  les poids locaux des six configurations :



Sur une portion finie  $G$  de  $\mathbb{Z}^2$ , une orientation  $\tau$  qui satisfait ces règles a pour *poids*

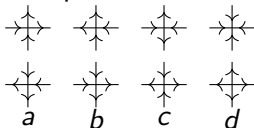
$$w(\tau) = a^{N_a} b^{N_b} c^{N_c} d^{N_d}.$$



$$\rightarrow w(\tau) = ab^3c^4d.$$

# Le modèle à huit sommets (*eight-vertex*)

On fixe  $a, b, c, d > 0$  les poids locaux des six configurations :



Sur une portion finie  $G$  de  $\mathbb{Z}^2$ , une orientation  $\tau$  qui satisfait ces règles a pour poids

$$w(\tau) = a^{N_a} b^{N_b} c^{N_c} d^{N_d}.$$

$$\mathbb{P}(\tau) = \frac{w(\tau)}{Z(G; a, b, c, d)},$$

$$Z_{8V}(G; a, b, c, d) = \sum_{\tau} w(\tau).$$



# Questions

- Énergie libre :

$$\lim_{G \rightarrow \mathbb{Z}^2} -\frac{1}{|G|} \log [Z_{8V}(G; a, b, c, d)] ?$$

- Corrélations : Pour deux arêtes  $e, e'$  verticales « loin » dans  $G$ ,

$$\text{Cov} \left( \mathbf{1}_{e \uparrow \text{ dans } \tau}, \mathbf{1}_{e' \uparrow \text{ dans } \tau} \right) \sim \exp \left( -\frac{|e - e'|}{\xi} \right) ?$$

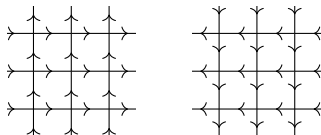
Si c'est le cas  $\xi$  est une **longueur typique** de corrélation.

- Généralité du modèle :  
extension à des graphes 4-réguliers,  
avec des poids  $a, b, c, d$  locaux ;  
sur la sphère, le plan ou le tore.

# Diagramme des phases

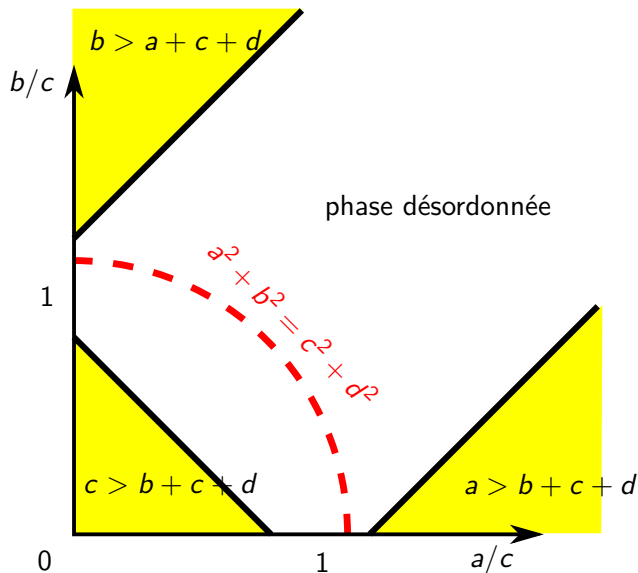
Comportement prédit par les physicien·ne·s dans les années 70-80 (Baxter, Fan, Lieb, Sutherland, Wu,...) :

- Si  $a \geq b + c + d$ , la probabilité sur  $\mathbb{Z}^2$  se concentre sur deux configurations :



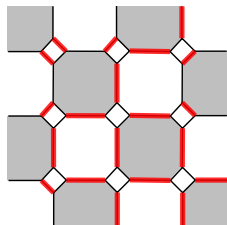
- Idem pour  $b \geq a + c + d$ , etc.
- Si chaque poids est inférieur à la somme des trois autres, alors toutes les configurations locales apparaissent avec densité  $> 0$ .
- Dans le cas  $d = 0$ , le modèle est « dégénéré » : les corrélations décroissent en loi puissance.

## Diagramme des phases ( $d < c$ )



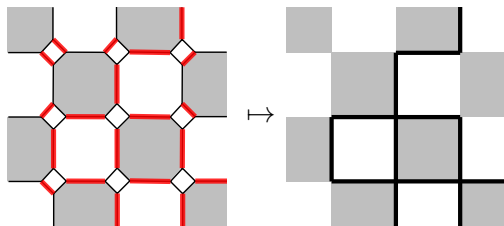
# Décorations

Idée : dimères bipartis  $m \mapsto$  modèle à six sommets  $\tau$ .



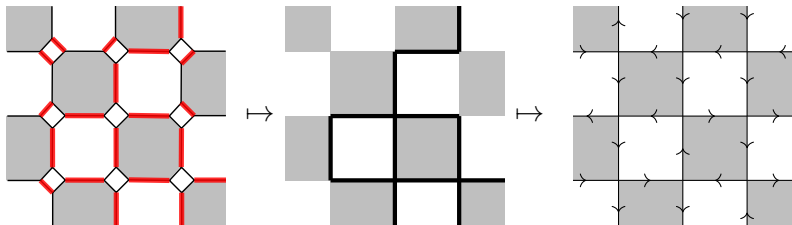
# Décorations

Idée : dimères bipartis  $m \mapsto$  modèle à six sommets  $\tau$ .



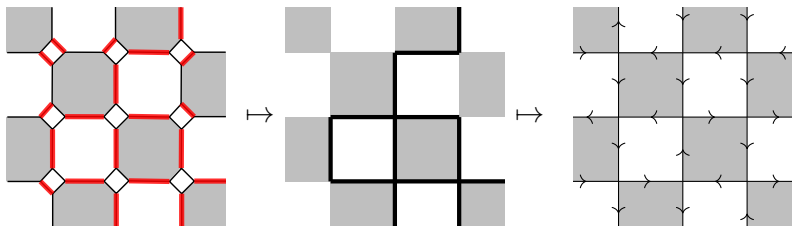
# Décorations

Idée : dimères bipartis  $m \mapsto$  modèle à six sommets  $\tau$ .



# Décorations

Idee : dimères bipartis  $m \mapsto$  modèle à six sommets  $\tau$ .



Proposition [Fan, Lin, Wu 1970s]

Si le modèle à six sommets ( $d = 0$ ) satisfait  $a^2 + b^2 = c^2$ , il existe des poids sur le graphe de dimères tels que

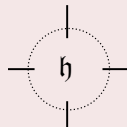
$$\sum_{m \mapsto \tau} w_{\text{dim}}(m) = w(\tau).$$

# Existence de décorations

## Question

Autres décorations  $\mathfrak{h}$  plus générales telles que

$$\sum_{m \mapsto \tau} w_{\dim}(m) = w(\tau)?$$



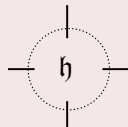


# Existence de décorations

## Question

Autres décorations  $\mathfrak{h}$  plus générales telles que

$$\sum_{m \mapsto \tau} w_{\dim}(m) = w(\tau)?$$



## Lemme

Si une décoration  $\mathfrak{h}$  **planaire** existe,

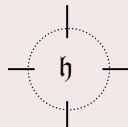
$$a^2 + b^2 = c^2 + d^2.$$

# Existence de décorations

## Question

Autres décorations  $\mathfrak{h}$  plus générales telles que

$$\sum_{m \mapsto \tau} w_{\dim}(m) = w(\tau)?$$



## Lemme

Si une décoration  $\mathfrak{h}$  **planaire** existe,

$$a^2 + b^2 = c^2 + d^2.$$

## Lemme

Si une décoration  $\mathfrak{h}$  **planaire bipartie** existe,

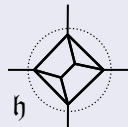
$$abcd = 0 \text{ et } a^2 + b^2 = c^2 + d^2.$$

# Existence de décorations

Proposition [Hsue, Lin, Wu 1970s]

Si le modèle à huit sommets satisfait

$$a^2 + b^2 = c^2 + d^2,$$



il existe des poids sur le graphe de dimères  $\mathfrak{h}$ -décoré (non biparti) tels que

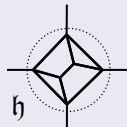
$$\sum_{m \rightarrow \tau} w_{\dim}(m) = w(\tau).$$

# Existence de décorations

Proposition [Hsue, Lin, Wu 1970s]

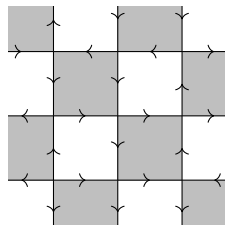
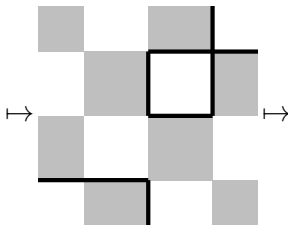
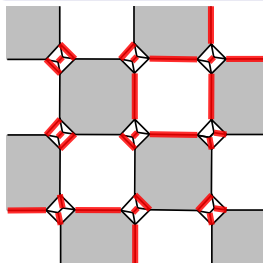
Si le modèle à huit sommets satisfait

$$a^2 + b^2 = c^2 + d^2,$$

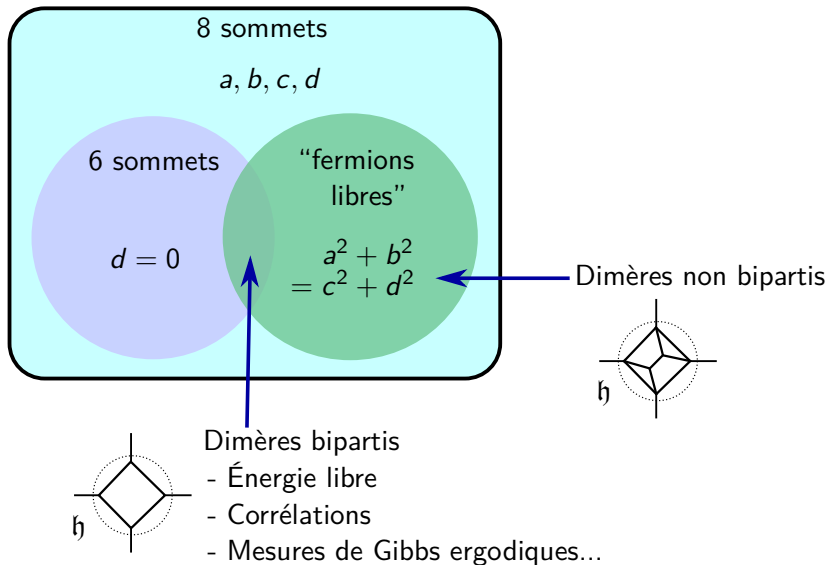


il existe des poids sur le graphe de dimères  $h$ -décoré (non biparti) tels que

$$\sum_{m \mapsto \tau} w_{\dim}(m) = w(\tau).$$



# Résumé



# Du non-biparti au biparti

## Théorème [M. 2018]

Pour tout modèle à huit sommets « fermions libres » ( $a^2 + b^2 = c^2 + d^2$ ) sur un graphe planaire fini, il existe deux modèles à six sommets « fermions libres »  $(a_1, b_1, c_1), (a_2, b_2, c_2)$  avec  $a_i^2 + b_i^2 = c_i^2$  tels que :

$$Z_{8V}(a, b, c, d)^2 = Z_{6V}(a_1, b_1, c_1) Z_{6V}(a_2, b_2, c_2).$$

# Du non-biparti au biparti

## Théorème [M. 2018]

Pour tout modèle à huit sommets « fermions libres » ( $a^2 + b^2 = c^2 + d^2$ ) sur un graphe planaire fini, il existe deux modèles à six sommets « fermions libres »  $(a_1, b_1, c_1), (a_2, b_2, c_2)$  avec  $a_i^2 + b_i^2 = c_i^2$  tels que :

$$Z_{8V}(a, b, c, d)^2 = Z_{6V}(a_1, b_1, c_1) Z_{6V}(a_2, b_2, c_2).$$

$$[a : b : c : d] = \left[ \sin\left(\frac{\alpha+\beta}{2}\right) : \cos\left(\frac{\alpha+\beta}{2}\right) : \cos\left(\frac{\alpha-\beta}{2}\right) : \sin\left(\frac{-\alpha+\beta}{2}\right) \right]$$

$$\mapsto [a_1 : b_1 : c_1] = [\sin \alpha : \cos \alpha : 1],$$

$$[a_2 : b_2 : c_2] = [\sin \beta : \cos \beta : 1].$$

# Éléments de preuve

*Trouver suffisamment de symétries sur  $Z_{8V}(a, b, c, d)$ .*

- $Z_{8V}(a, b, c, d) = Z_{8V}(a, b, c, -d)$ .



# Éléments de preuve

Trouver suffisamment de symétries sur  $Z_{8V}(a, b, c, d)$ .

- $Z_{8V}(a, b, c, d) = Z_{8V}(a, b, c, -d)$ .
- Dualité abélienne (Wu) :  $Z_{8V}(a, b, c, d) = Z_{8V}(\bar{a}, \bar{b}, \bar{c}, \bar{d})$  où

$$\begin{pmatrix} \bar{a} \\ \bar{b} \\ \bar{c} \\ \bar{d} \end{pmatrix} = \frac{1}{2} \begin{pmatrix} 1 & -1 & 1 & 1 \\ -1 & 1 & 1 & 1 \\ 1 & 1 & 1 & -1 \\ 1 & 1 & -1 & 1 \end{pmatrix} \begin{pmatrix} a \\ b \\ c \\ d \end{pmatrix}.$$

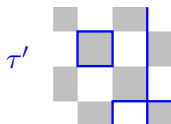
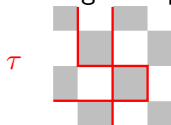
# Éléments de preuve

Trouver suffisamment de symétries sur  $Z_{8V}(a, b, c, d)$ .

- $Z_{8V}(a, b, c, d) = Z_{8V}(a, b, c, -d)$ .
- Dualité abélienne (Wu) :  $Z_{8V}(a, b, c, d) = Z_{8V}(\bar{a}, \bar{b}, \bar{c}, \bar{d})$  où

$$\begin{pmatrix} \bar{a} \\ \bar{b} \\ \bar{c} \\ \bar{d} \end{pmatrix} = \frac{1}{2} \begin{pmatrix} 1 & -1 & 1 & 1 \\ -1 & 1 & 1 & 1 \\ 1 & 1 & 1 & -1 \\ 1 & 1 & -1 & 1 \end{pmatrix} \begin{pmatrix} a \\ b \\ c \\ d \end{pmatrix}.$$

- Échange de spins :



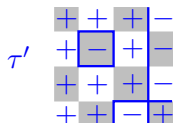
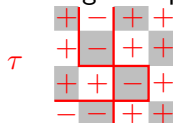
# Éléments de preuve

Trouver suffisamment de symétries sur  $Z_{8V}(a, b, c, d)$ .

- $Z_{8V}(a, b, c, d) = Z_{8V}(a, b, c, -d)$ .
- Dualité abélienne (Wu) :  $Z_{8V}(a, b, c, d) = Z_{8V}(\bar{a}, \bar{b}, \bar{c}, \bar{d})$  où

$$\begin{pmatrix} \bar{a} \\ \bar{b} \\ \bar{c} \\ \bar{d} \end{pmatrix} = \frac{1}{2} \begin{pmatrix} 1 & -1 & 1 & 1 \\ -1 & 1 & 1 & 1 \\ 1 & 1 & 1 & -1 \\ 1 & 1 & -1 & 1 \end{pmatrix} \begin{pmatrix} a \\ b \\ c \\ d \end{pmatrix}.$$

- Échange de spins :



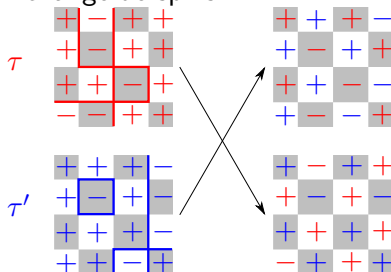
# Éléments de preuve

Trouver suffisamment de symétries sur  $Z_{8V}(a, b, c, d)$ .

- $Z_{8V}(a, b, c, d) = Z_{8V}(a, b, c, -d)$ .
- Dualité abélienne (Wu) :  $Z_{8V}(a, b, c, d) = Z_{8V}(\bar{a}, \bar{b}, \bar{c}, \bar{d})$  où

$$\begin{pmatrix} \bar{a} \\ \bar{b} \\ \bar{c} \\ \bar{d} \end{pmatrix} = \frac{1}{2} \begin{pmatrix} 1 & -1 & 1 & 1 \\ -1 & 1 & 1 & 1 \\ 1 & 1 & 1 & -1 \\ 1 & 1 & -1 & 1 \end{pmatrix} \begin{pmatrix} a \\ b \\ c \\ d \end{pmatrix}.$$

- Échange de spins :



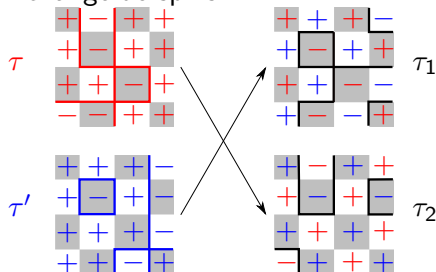
# Éléments de preuve

Trouver suffisamment de symétries sur  $Z_{8V}(a, b, c, d)$ .

- $Z_{8V}(a, b, c, d) = Z_{8V}(a, b, c, -d)$ .
- Dualité abélienne (Wu) :  $Z_{8V}(a, b, c, d) = Z_{8V}(\bar{a}, \bar{b}, \bar{c}, \bar{d})$  où

$$\begin{pmatrix} \bar{a} \\ \bar{b} \\ \bar{c} \\ \bar{d} \end{pmatrix} = \frac{1}{2} \begin{pmatrix} 1 & -1 & 1 & 1 \\ -1 & 1 & 1 & 1 \\ 1 & 1 & 1 & -1 \\ 1 & 1 & -1 & 1 \end{pmatrix} \begin{pmatrix} a \\ b \\ c \\ d \end{pmatrix}.$$

- Échange de spins :



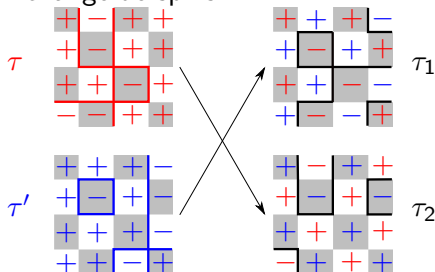
# Éléments de preuve

Trouver suffisamment de symétries sur  $Z_{8V}(a, b, c, d)$ .

- $Z_{8V}(a, b, c, d) = Z_{8V}(a, b, c, -d)$ .
- Dualité abélienne (Wu) :  $Z_{8V}(a, b, c, d) = Z_{8V}(\bar{a}, \bar{b}, \bar{c}, \bar{d})$  où

$$\begin{pmatrix} \bar{a} \\ \bar{b} \\ \bar{c} \\ \bar{d} \end{pmatrix} = \frac{1}{2} \begin{pmatrix} 1 & -1 & 1 & 1 \\ -1 & 1 & 1 & 1 \\ 1 & 1 & 1 & -1 \\ 1 & 1 & -1 & 1 \end{pmatrix} \begin{pmatrix} a \\ b \\ c \\ d \end{pmatrix}.$$

- Échange de spins :



Si  $ab = cd$  et  $a'b' = c'd'$ ,

$$\begin{aligned} & Z_{8V}(a, b, c, d) \\ & \times Z_{8V}(a', b', c', d') \\ & = Z_{8V}(a_1, b_1, c_1, d_1) \\ & \times Z_{8V}(a_2, b_2, c_2, d_2) \end{aligned}$$

# Couplage 1

## Question

L'identité

$$Z_{8V}(a, b, c, d)^2 = Z_{6V}(a_1, b_1, c_1) Z_{6V}(a_2, b_2, c_2)$$

cache-t-elle un couplage probabiliste ?

# Couplage 1

## Question

L'identité

$$Z_{8V}(a, b, c, d)^2 = Z_{6V}(a_1, b_1, c_1) Z_{6V}(a_2, b_2, c_2)$$

cache-t-elle un couplage probabiliste ?

## Théorème [M. 2018]

Sur un graphe planaire fini, soient  $\tau, \tau'$  des configurations tirées selon la mesure de Boltzmann de  $(a, b, c, d)$ , et  $\tau_1, \tau_2$  selon celles de  $(a_1, b_1, c_1, 0)$  et  $(a_2, b_2, c_2, 0)$ , toutes indépendantes. Alors

$$\tau \triangle \tau' \stackrel{d}{=} \tau_1 \triangle \tau_2.$$



# Couplage 1

## Question

L'identité

$$Z_{8V}(a, b, c, d)^2 = Z_{6V}(a_1, b_1, c_1) Z_{6V}(a_2, b_2, c_2)$$

cache-t-elle un couplage probabiliste ?

## Théorème [M. 2018]

Sur un graphe planaire fini, soient  $\tau, \tau'$  des configurations tirées selon la mesure de Boltzmann de  $(a, b, c, d)$ , et  $\tau_1, \tau_2$  selon celles de  $(a_1, b_1, c_1, 0)$  et  $(a_2, b_2, c_2, 0)$ , toutes indépendantes. Alors

$$\tau \triangle \tau' \stackrel{d}{=} \tau_1 \triangle \tau_2.$$

Formalisme des **opérateurs d'ordre et désordre** (Kadanoff Ceva 1971, Dubédat 2011) + transformée de Fourier discrète.

# Couplage 2

## Question

L'identité

$$Z_{8V}(a, b, c, d)^2 = Z_{6V}(a_1, b_1, c_1) Z_{6V}(a_2, b_2, c_2)$$

s'étend-elle pour des graphes sur le tore ?

## Couplage 2

### Question

L'identité

$$Z_{8V}(a, b, c, d)^2 = Z_{6V}(a_1, b_1, c_1) Z_{6V}(a_2, b_2, c_2)$$

s'étend-elle pour des graphes sur le tore ?

### Théorème [M. 2018]

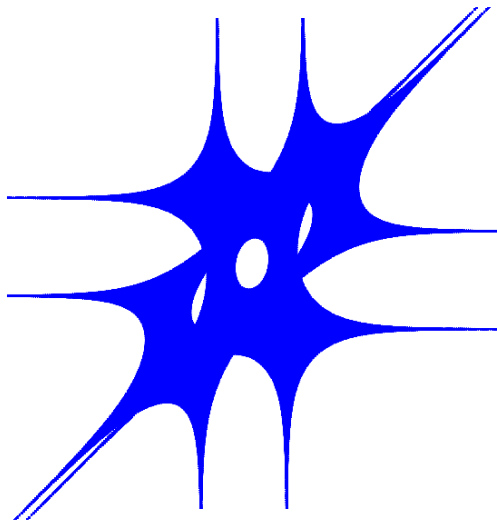
Pour un graphe fini sur le tore, soient

- $P(z, w)$  le polynôme caractéristique des dimères (non-bipartis) associés à  $(a, b, c, d)$ ,
- $P_1(z, w), P_2(z, w)$  ceux des dimères (bipartis) associés à  $(a_1, b_1, c_1)$  et  $(a_2, b_2, c_2)$ .

Alors

$$P(z, w) = P_1(z, w)P_2(z, w).$$

$$P(z, w) = P_1(z, w)P_2(z, w).$$



*Amibe* : image du lieu des zéros de  $P$  par  
 $(z, w) \mapsto (\log|z|, \log|w|)$ .

# Couplage 3

## Question

Ces identités s'interprètent-elles « localement » sur les matrices de Kasteleyn ?

### Question

Ces identités s'interprètent-elles « localement » sur les matrices de Kasteleyn ?

### Théorème [M. 2018]

Pour tout graphe fini ou infini, sur la sphère, le plan ou le tore, il existe un opérateur local  $T$  tel que, si

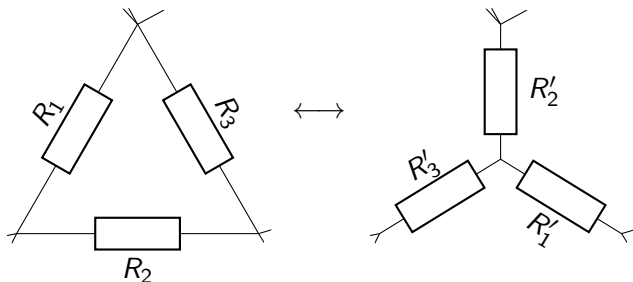
- $K$  est la matrice de Kasteleyn des dimères (non-bipartis) associés à  $(a, b, c, d)$ ,
- $K_1, K_2$  sont celles des dimères (bipartis) associés à  $(a_1, b_1, c_1)$  et  $(a_2, b_2, c_2)$ ,

alors

$$K^{-1} = \frac{1}{2} \left( K_1^{-1} + K_2^{-1} + T(K_1^{-1} - K_2^{-1}) \right).$$

# La transformation « Triangle-Étoile »

[Kennelly, 1899]



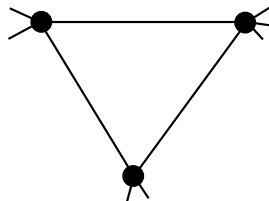
$$R'_1 = \frac{R_2 R_3}{R_1 + R_2 + R_3}$$

$$R'_2 = \frac{R_1 R_3}{R_1 + R_2 + R_3}$$

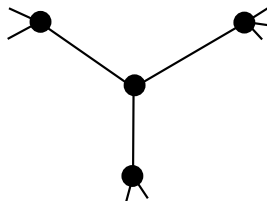
$$R'_3 = \frac{R_1 R_2}{R_1 + R_2 + R_3}$$

# La transformation « Triangle-Étoile »

$G_{\Delta}$



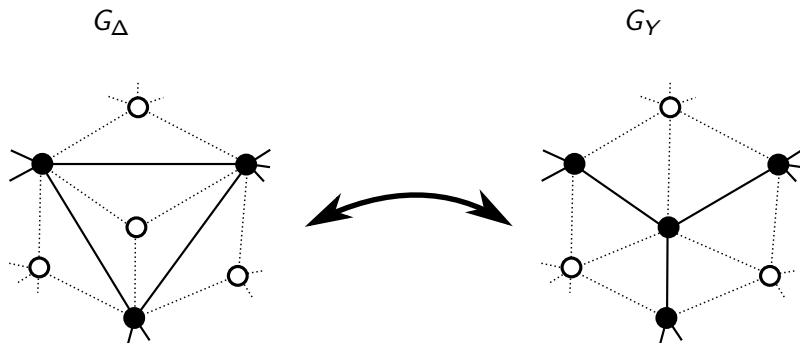
$G_Y$



Équations de *Yang-Baxter* : relations de couplage entre un modèle de mécanique statistique sur  $G_{\Delta}$  et  $G_Y$ .

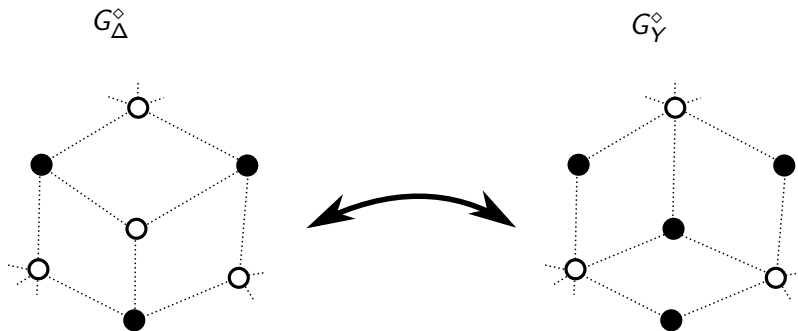


# La transformation « Triangle-Étoile »



Équations de *Yang-Baxter* : relations de couplage entre un modèle de mécanique statistique sur  $G_\Delta$  et  $G_\Gamma$ .

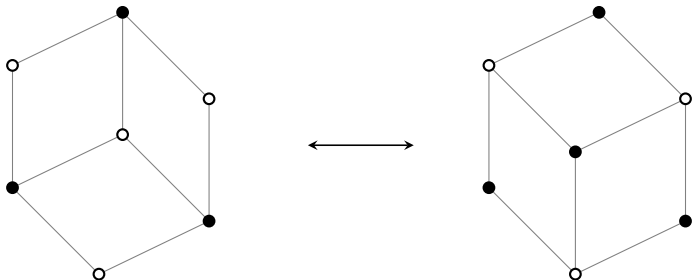
# La transformation « Triangle-Étoile »



Équations de *Yang-Baxter* : relations de couplage entre un modèle de mécanique statistique sur  $G_{\Delta}^{\diamond}$  et  $G_{\gamma}^{\diamond}$ .

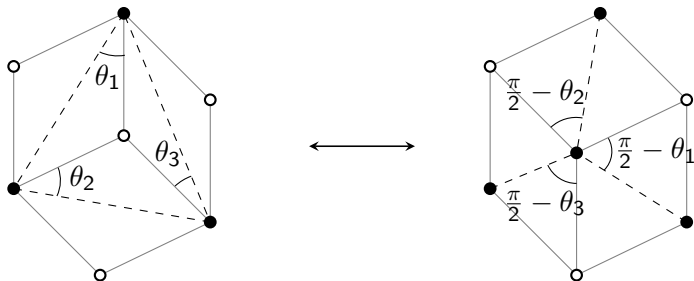
## « Triangle-Étoile » sur un graphe de losanges

Si  $G$  est un graphe (fini ou infini) formé de losanges de même taille, il existe une transformation géométrique :

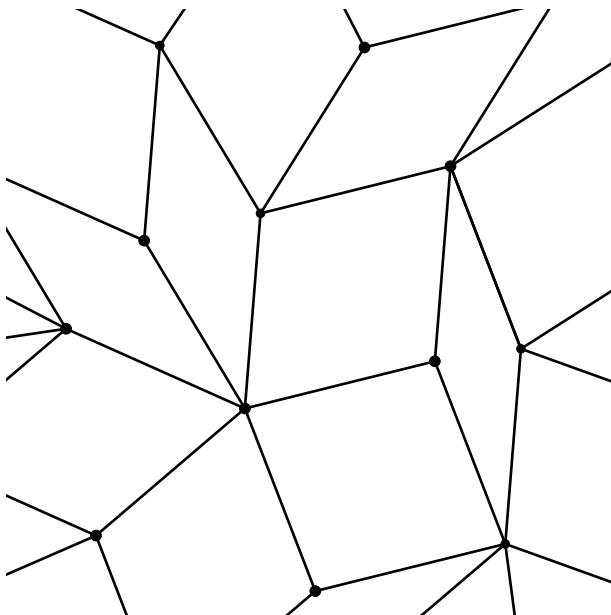


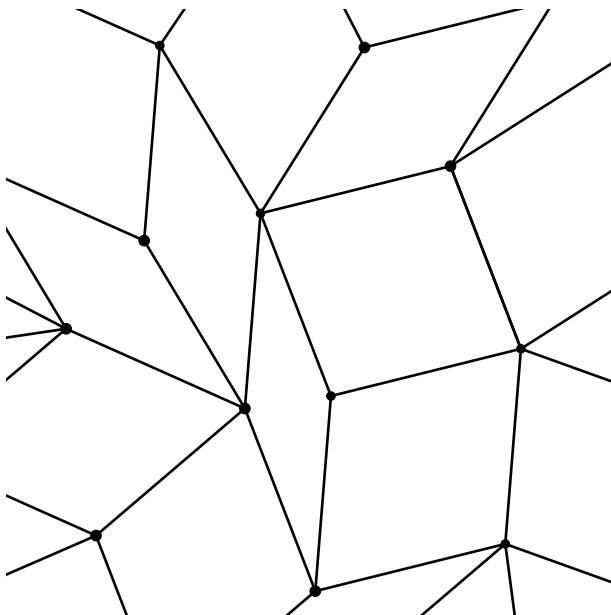
## « Triangle-Étoile » sur un graphe de losanges

Si  $G$  est un graphe (fini ou infini) formé de losanges de même taille, il existe une transformation géométrique :



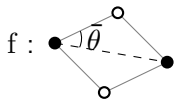
Le dual  $G^*$  étant 4-régulier, on peut définir un modèle 8V dessus.





## « Triangle-Étoile » sur un graphe de losanges

Poids sur les faces du graphe de losanges ( $k, \ell \in [0, 1)$ ) :



$$a(f) = \operatorname{sn}(\theta|k) + \operatorname{sn}(\theta|\ell)$$

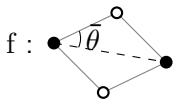
$$b(f) = \operatorname{cn}(\theta|k) + \operatorname{cn}(\theta|\ell)$$

$$c(f) = 1 + \operatorname{sn}(\theta|k) \operatorname{sn}(\theta|\ell) + \operatorname{cn}(\theta|k) \operatorname{cn}(\theta|\ell)$$

$$d(f) = \operatorname{cn}(\theta|k) \operatorname{sn}(\theta|\ell) - \operatorname{sn}(\theta|k) \operatorname{cn}(\theta|\ell).$$

## « Triangle-Étoile » sur un graphe de losanges

Poids sur les faces du graphe de losanges ( $k, \ell \in [0, 1)$ ) :



$$a(f) = \operatorname{sn}(\theta|k) + \operatorname{sn}(\theta|\ell)$$

$$b(f) = \operatorname{cn}(\theta|k) + \operatorname{cn}(\theta|\ell)$$

$$c(f) = 1 + \operatorname{sn}(\theta|k) \operatorname{sn}(\theta|\ell) + \operatorname{cn}(\theta|k) \operatorname{cn}(\theta|\ell)$$

$$d(f) = \operatorname{cn}(\theta|k) \operatorname{sn}(\theta|\ell) - \operatorname{sn}(\theta|k) \operatorname{cn}(\theta|\ell).$$

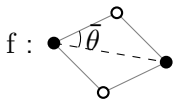
### Proposition [M. 2018]

Pour ces poids, le modèle à huit sommet « free-fermion » est invariant en loi sous la transformation triangle-étoile.



## « Triangle-Étoile » sur un graphe de losanges

Poids sur les faces du graphe de losanges ( $k, \ell \in [0, 1)$ ) :



$$a(f) = \text{sn}(\theta|k) + \text{sn}(\theta|\ell)$$

$$b(f) = \text{cn}(\theta|k) + \text{cn}(\theta|\ell)$$

$$c(f) = 1 + \text{sn}(\theta|k) \text{sn}(\theta|\ell) + \text{cn}(\theta|k) \text{cn}(\theta|\ell)$$

$$d(f) = \text{cn}(\theta|k) \text{sn}(\theta|\ell) - \text{sn}(\theta|k) \text{cn}(\theta|\ell).$$

### Proposition [M. 2018]

Pour ces poids, le modèle à huit sommet « free-fermion » est invariant en loi sous la transformation triangle-étoile.

Régime **Z-invariant** (Baxter) sur un graphe **isoradial**  
(Kenyon ; Boutillier, de Tilière, Raschel ; Grimmett, Manolescu,  
Duminil-Copin, Li,...)

# Conséquences

- Énergie libre :

$$\frac{1}{(2i\pi)^2} \int_{\mathbb{T}^2} \log |P(z, w)| \frac{dz}{z} \frac{dw}{w}$$

Dans le cas  $Z$ -invariant sur un graphe de losanges,

- Existence d'une mesure de Gibbs ergodique.

# Conséquences

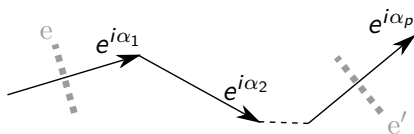
- Énergie libre :

$$\frac{1}{(2i\pi)^2} \int_{\mathbb{T}^2} \log |P(z, w)| \frac{dz}{z} \frac{dw}{w}$$

Dans le cas  $Z$ -invariant sur un graphe de losanges,

- Existence d'une mesure de Gibbs ergodique.
- Formule exacte, **locale** pour les corrélations (via les dimères de Boutillier, de Tilière, Raschel 2017) :

$$\text{Cov}(1_{e \in \tau}, 1_{e' \in \tau}) = g(\alpha_1, \dots, \alpha_p).$$



# Conséquences

- Énergie libre :

$$\frac{1}{(2i\pi)^2} \int_{\mathbb{T}^2} \log |P(z, w)| \frac{dz}{z} \frac{dw}{w}$$

Dans le cas  $Z$ -invariant sur un graphe de losanges,

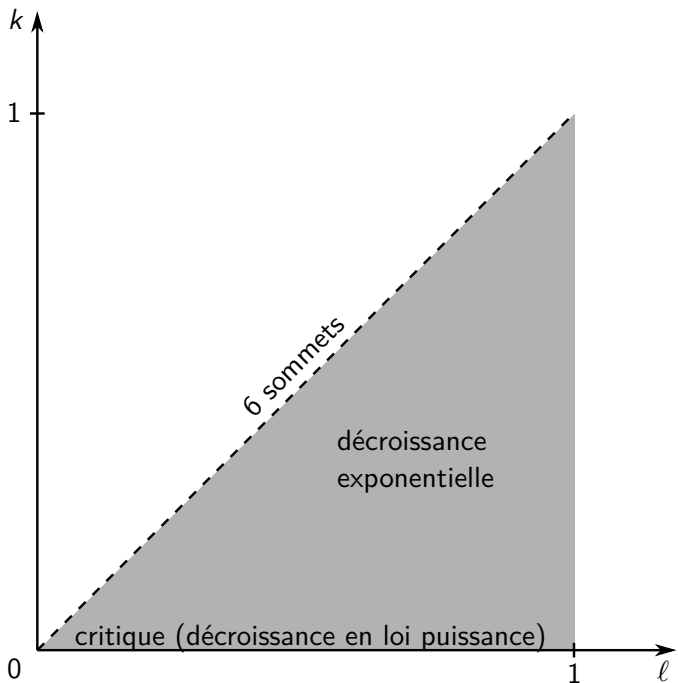
- Existence d'une mesure de Gibbs ergodique.
- Formule exacte, **locale** pour les corrélations (*via* les dimères de Boutillier, de Tilière, Raschel 2017) :

$$\text{Cov}(1_{e \in \tau}, 1_{e' \in \tau}) = g(\alpha_1, \dots, \alpha_p).$$

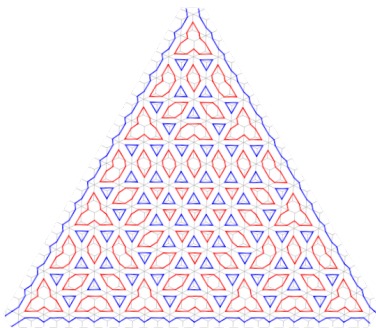
- Ordre des corrélations : si  $0 < k < \ell < 1$ , quand  $|x - y| \rightarrow \infty$ , sous des conditions naturelles,

$$K^{-1}[x, y] \sim |x - y|^{-\frac{1}{2}} \exp\left(-\frac{|x - y|}{\xi}\right).$$

Quand  $k \rightarrow 0$ ,  $\xi = \Theta(k^{-2}) = \Theta((\beta - \beta_c)^{-1})$ .



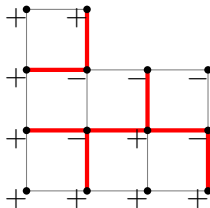
## II - La récurrence de Kashaev et un modèle de boucles intégrable



# Modèle d'Ising

$G = (V, E)$  un graphe planaire, muni de constantes  $(x_e)_{e \in E}$  sur les arêtes.

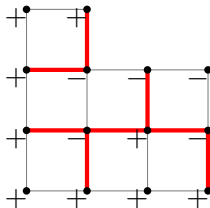
**Configurations de spins** :  $\sigma : V \rightarrow \{-1, +1\}$ .



# Modèle d'Ising

$G = (V, E)$  un graphe planaire, muni de constantes  $(x_e)_{e \in E}$  sur les arêtes.

**Configurations de spins** :  $\sigma : V \rightarrow \{-1, +1\}$ . On note  $E_\sigma$  les arêtes dont les extrêmités n'ont pas le même spin.





# Modèle d'Ising

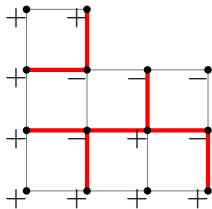
$G = (V, E)$  un graphe planaire, muni de constantes  $(x_e)_{e \in E}$  sur les arêtes.

**Configurations de spins** :  $\sigma : V \rightarrow \{-1, +1\}$ . On note  $E_\sigma$  les arêtes dont les extrémités n'ont pas le même spin.

$$\mathbb{P}(\sigma) = \frac{1}{Z_{\text{Ising}}(G, x)} \prod_{e \in E_\sigma} x_e,$$

Fonction de partition :

$$Z_{\text{Ising}}(G, x) = \sum_{\sigma \in \{-1, 1\}^V} \prod_{e \in E_\sigma} x_e.$$

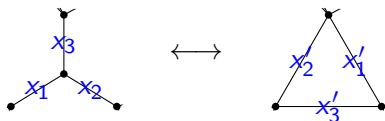
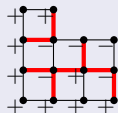


# « Triangle/Étoile » pour le modèle d'Ising [Wannier]

## Rappels

$$\mathbb{P}(\sigma) = \frac{1}{Z} \prod_{e \in E_\sigma} x_e,$$

$$Z_{\text{Ising}}(G, x) = \sum_{\sigma \in \{-1,1\}^V} \prod_{e \in E_\sigma} x_e.$$



Le modèle d'Ising est préservé en loi *ssi*

$$x'_1 = \sqrt{\frac{(x_2 + x_1 x_3)(x_3 + x_1 x_2)}{(x_1 x_2 x_3 + 1)(x_1 + x_2 x_3)}}$$

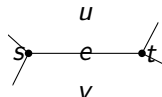
$$x'_2 = \sqrt{\frac{(x_1 + x_2 x_3)(x_3 + x_1 x_2)}{(x_1 x_2 x_3 + 1)(x_2 + x_1 x_2)}}$$

$$x'_3 = \sqrt{\frac{(x_1 + x_2 x_3)(x_2 + x_1 x_3)}{(x_1 x_2 x_3 + 1)(x_3 + x_1 x_2)}}$$

## « Triangle/Étoile » pour le modèle d'Ising [Kashaev]

Supposons que

$$\left( \frac{x_e - x_e^{-1}}{2} \right)^2 = \frac{g_s g_t}{g_u g_v}$$

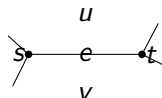


avec  $(g_i)_{i \in V \cup F}$  des variables sur les sommets et les faces de  $G$ .

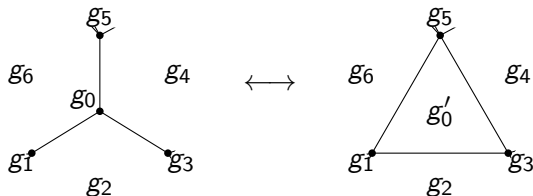
# « Triangle/Étoile » pour le modèle d'Ising [Kashaev]

Supposons que

$$\left( \frac{x_e - x_e^{-1}}{2} \right)^2 = \frac{g_s g_t}{g_u g_v}$$



avec  $(g_i)_{i \in V \cup F}$  des variables sur les sommets et les faces de  $G$ .



[Kashaev, 1995] Le modèle d'Ising est préservé en loi ssi

$$g_0^2 g_0'^2 + g_1^2 g_4^2 + g_2^2 g_5^2 + g_3^2 g_6^2 - 2(g_1 g_3 g_4 g_6 + g_2 g_3 g_5 g_6 + g_1 g_2 g_4 g_5) - 2g_0 g_0' (g_1 g_4 + g_2 g_5 + g_3 g_6) - 4(g_0 g_2 g_4 g_6 + g_0' g_1 g_3 g_5) = 0$$

# Mineurs principaux

$M$  une matrice de taille  $n$ .

Pour  $I \subset [n]$ ,  $a_I = \det(M_I)$  est appelé **mineur principal**.

Relations entre les  $a_I$ ? Quels sont les polynômes dans  $\mathbb{C}[(a_I)_{I \subset [n]}]$  qui s'annulent toujours?

# Mineurs principaux

$M$  une matrice de taille  $n$ .

Pour  $I \subset [n]$ ,  $a_I = \det(M'_I)$  est appelé **mineur principal**.

Relations entre les  $a_I$ ? Quels sont les polynômes dans  $\mathbb{C}[(a_I)_{I \subset [n]}]$  qui s'annulent toujours?

*Théorème [Holtz & Sturmfels 2006; Oeding 2011]*

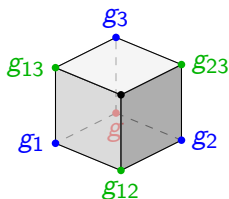
**Lorsque  $M$  est symétrique,**

$$\begin{aligned} & a_{\emptyset}^2 a_{123}^2 + a_3^2 a_{12}^2 + a_2^2 a_{13}^2 + a_1^2 a_{23}^2 \\ & - 2a_{\emptyset} a_3 a_{12} a_{123} - 2a_{\emptyset} a_2 a_{13} a_{123} - 2a_{\emptyset} a_{23} a_1 a_{123} \\ & - 2a_3 a_2 a_{13} a_{12} - 2a_3 a_{23} a_{12} a_1 - 2a_2 a_{23} a_{13} a_1 \\ & + 4a_{\emptyset} a_{23} a_{13} a_{12} + 4a_3 a_2 a_1 a_{123} = 0 \end{aligned}$$

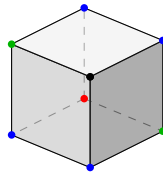
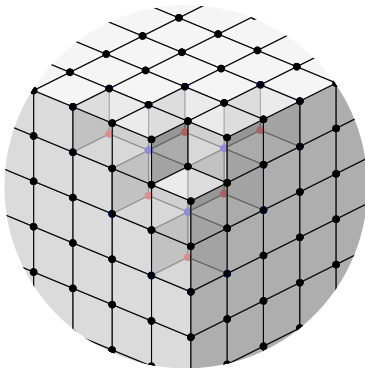
et toutes les relations entre les  $a_I$  sont « générées » par celle-ci.

# Récurrance de Kashaev

$$\begin{aligned} &g^2 g_{123}^2 + g_1^2 g_{23}^2 + g_2^2 g_{13}^2 + g_3^2 g_{12}^2 \\ &- 2(g_2 g_3 g_{13} g_{12} + g_1 g_3 g_{23} g_{12} + g_1 g_2 g_{23} g_{13}) \\ &- 2g g_{123}(g_1 g_{23} + g_2 g_{13} + g_3 g_{12}) \\ &- 4(g g_{23} g_{13} g_{12} + g_{123} g_1 g_2 g_3) = 0 \end{aligned}$$

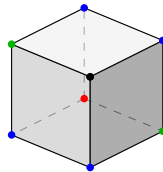
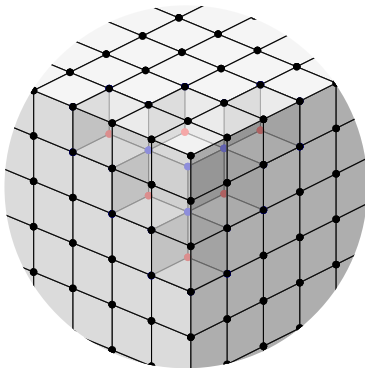


# Récurrance de Kashaev

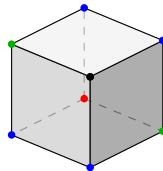
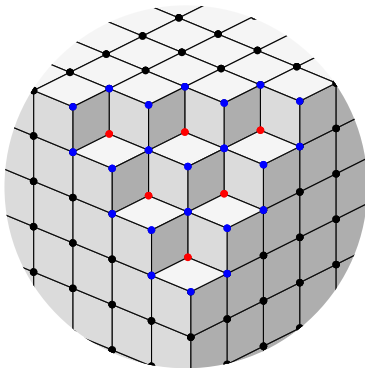




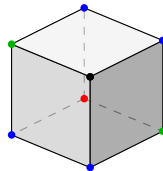
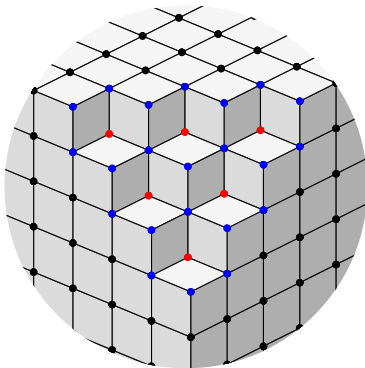
# Récurrance de Kashaev



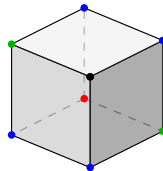
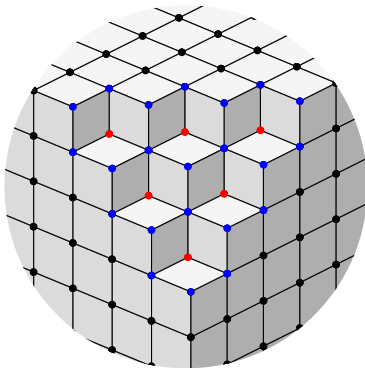
# Récurrance de Kashaev



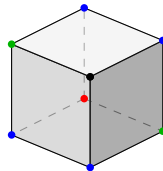
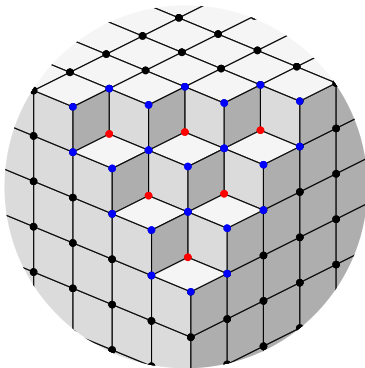
# Récurrance de Kashaev



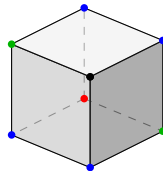
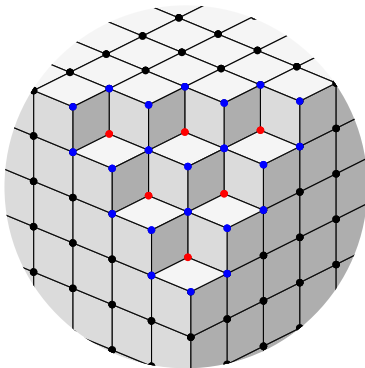
# Récurrance de Kashaev



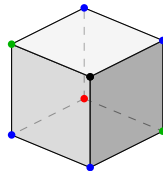
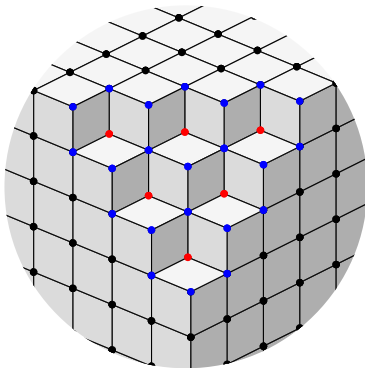
# Récurrance de Kashaev



# Récurrance de Kashaev



# Récurrance de Kashaev



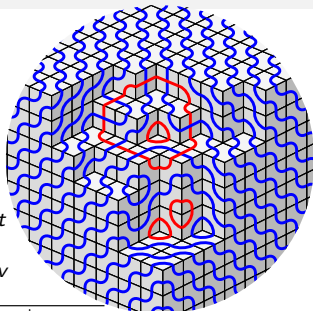
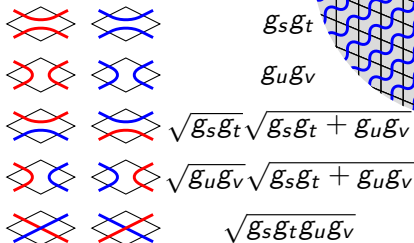
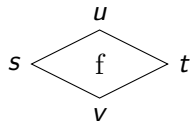
**Polynôme de Laurent** en les conditions initiales !

Question [Kenyon, Pemantle 2016]

La solution s'exprime-t-elle comme la fonction de partition d'un modèle ?

# Boucles bicolores « $C_2^{(1)}$ » [Warnaar, Nienhuis 1993]

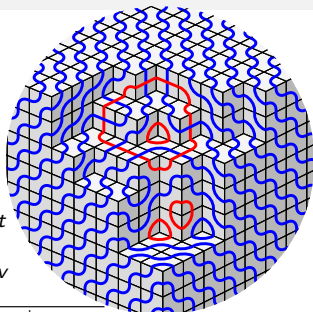
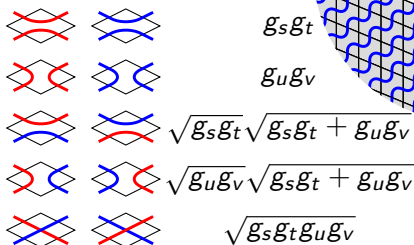
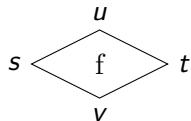
Sur un empilement de cubes  $I$ ,  
avec poids  $(g_i)_{i \in I}$  sur les sommets,  
configurations et poids des faces :





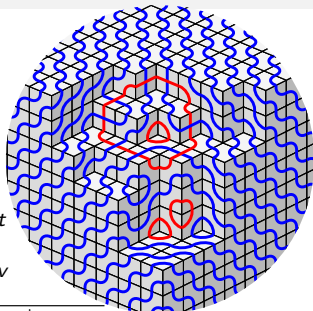
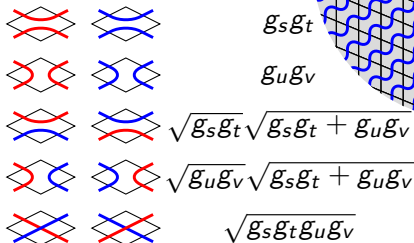
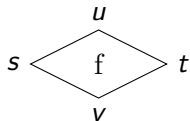
# Boucles bicolores « $C_2^{(1)}$ » [Warnaar, Nienhuis 1993]

Sur un empilement de cubes  $I$ ,  
avec poids  $(g_i)_{i \in I}$  sur les sommets,  
configurations et poids des faces :



# Boucles bicolores « $C_2^{(1)}$ » [Warnaar, Nienhuis 1993]

Sur un empilement de cubes  $I$ ,  
avec poids  $(g_i)_{i \in I}$  sur les sommets,  
configurations et poids des faces :



Poids d'une configuration :

$$2^N \prod_f \text{poids}(f)$$

où  $N$  est le nombre de boucles finies.

## Théorème [M. 2018]

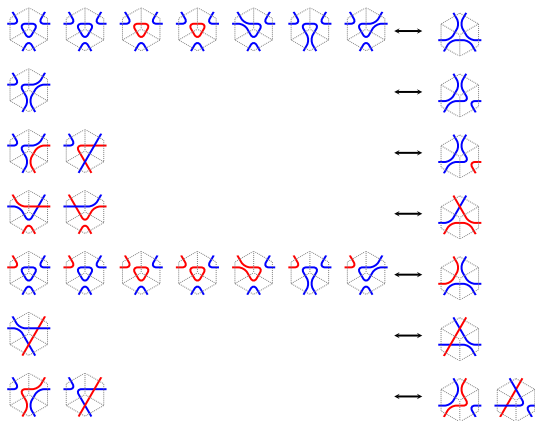
La fonction de partition

$$Z_{C_2^{(1)}}(l, g) = \sum_{\text{conf. de boucles}} \left( 2^N \prod_f \text{poids}(f) \prod_{i \in l} g_i^{-2} \right)$$

est la solution de la récurrence de Kashaev avec conditions initiales  $(g_i)_{i \in l}$ . Il y a une bijection entre configurations de boucles et monômes.

# Solution de la récurrence de Kashaev

Idée de la preuve :



+ algorithme de reconstruction d'une configuration à partir de son poids.

# Solution de la récurrence de Kashaev

Théorème [M. 2018]

La fonction de partition

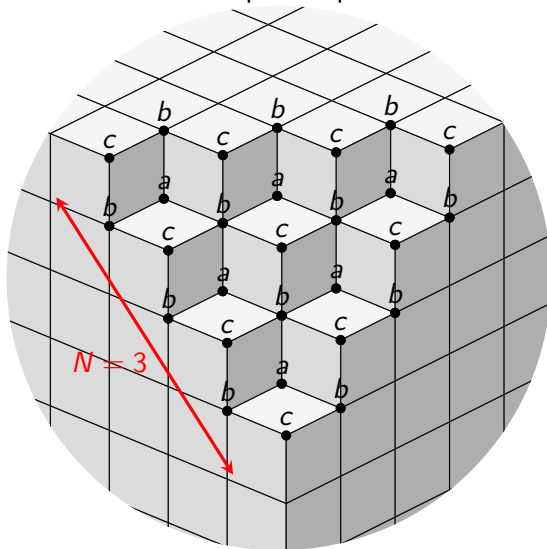
$$Z_{C_2^{(1)}}(l, g) = \sum_{\text{conf. de boucles}} \left( 2^N \prod_f \text{poids}(f) \prod_{i \in I} g_i^{-2} \right)$$

est la solution de la récurrence de Kashaev avec conditions initiales  $(g_i)_{i \in I}$ . Il y a une bijection entre configurations de boucles et monômes.

## Conséquences

- Polynôme de Laurent en les  $g_i$  et les  $X_f = \sqrt{g_s g_t + g_u g_v}$  ; exposants connus ; les coefficients sont des puissances de 2...
- Formes limites.

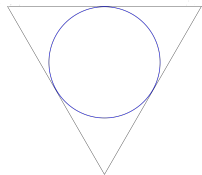
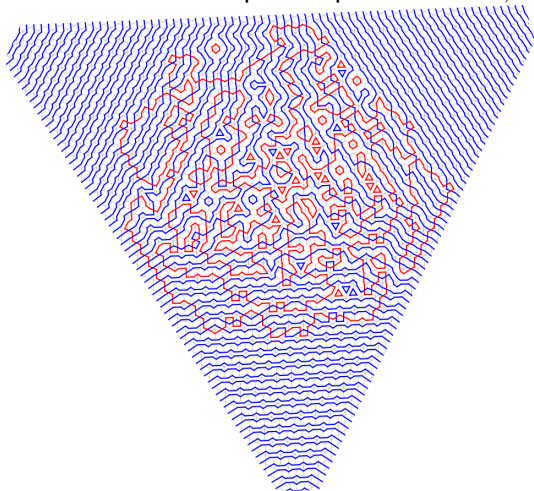
Conditions initiales périodiques :



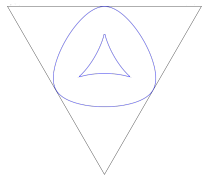
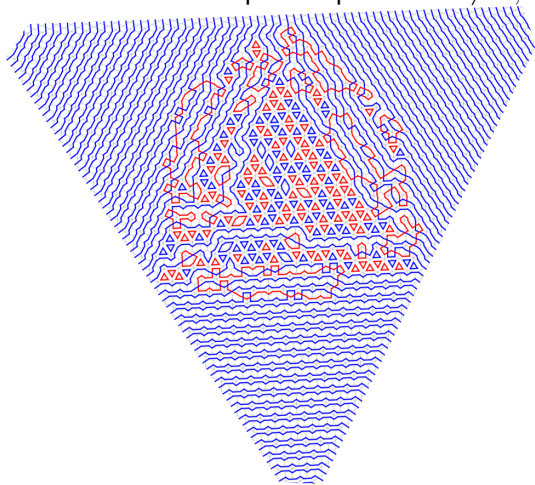
$$R = \frac{ac}{b^2},$$

$$N \rightarrow \infty$$

Conditions initiales périodiques :  $R = 3$ ,  $N \rightarrow \infty$

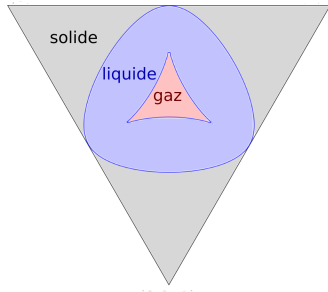
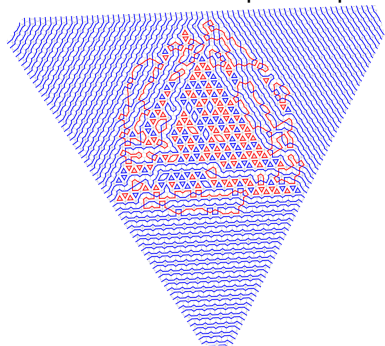


Conditions initiales périodiques :  $R \neq 3$ ,  $N \rightarrow \infty$





Conditions initiales périodiques :  $R \neq 3, N \rightarrow \infty$



**Forme limite** : courbe algébrique (projective) explicite de degré 8.

## Question

D'où viennent ces formes limites ?

*[Petersen, Speyer 2004 ; Di Francesco, Soto-Garrido 2014 ; Kenyon, Pemantle 2016]*

## Question

D'où viennent ces formes limites ?

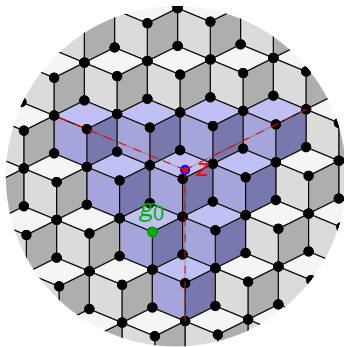
[Petersen, Speyer 2004 ; Di Francesco, Soto-Garrido 2014 ; Kenyon, Pemantle 2016]

Pour différents  $z$ , les

$$g_z = Z_{C_2^{(1)}}(I_z, g)$$

satisfont la récurrence

de Kashaev (relation polynomiale).



## Question

D'où viennent ces formes limites ?

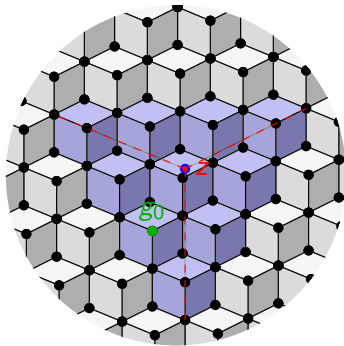
[Petersen, Speyer 2004 ; Di Francesco, Soto-Garrido 2014 ; Kenyon, Pemantle 2016]

Pour différents  $z$ , les

$$g_z = Z_{C_2^{(1)}}(l_z, g)$$

satisfont la récurrence  
de Kashaev (relation polynomiale).

→ Les  $\rho_z := g_0 \frac{\partial \ln(g_z)}{\partial g_0}$   
satisfont une relation **linéaire**.



## Question

D'où viennent ces formes limites ?

[Petersen, Speyer 2004; Di Francesco, Soto-Garrido 2014; Kenyon, Pemantle 2016]

Pour différents  $z$ , les

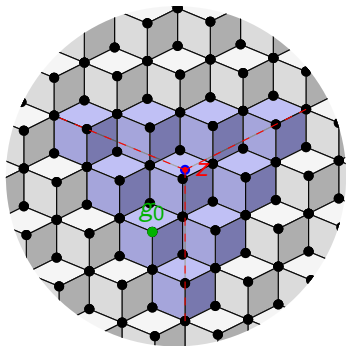
$$g_z = Z_{C_2^{(1)}}(l_z, g)$$

satisfont la récurrence  
de Kashaev (relation polynomiale).

→ Les  $\rho_z := g_0 \frac{\partial \ln(g_z)}{\partial g_0}$   
satisfont une relation **linéaire**.

$$\rightarrow F(x, y, z) = \sum_{i,j,k} \rho_{i,j,k} x^i y^j z^k :$$

$$F(x, y, z) = \frac{P(x, y, z)}{H(x, y, z)}.$$



## Question

D'où viennent ces formes limites ?

[Petersen, Speyer 2004; Di Francesco, Soto-Garrido 2014; Kenyon, Pemantle 2016]

Pour différents  $z$ , les

$$g_z = Z_{C_2^{(1)}}(l_z, g)$$

satisfont la récurrence

de Kashaev (relation polynomiale).

→ Les  $\rho_z := g_0 \frac{\partial \ln(g_z)}{\partial g_0}$

satisfont une relation **linéaire**.

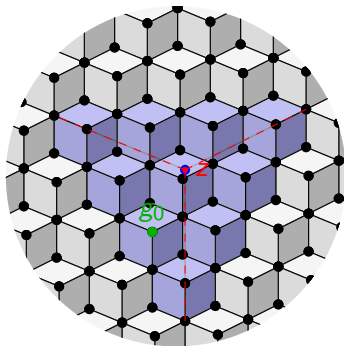
→  $F(x, y, z) = \sum_{i,j,k} \rho_{i,j,k} x^i y^j z^k :$

$$F(x, y, z) = \frac{P(x, y, z)}{H(x, y, z)}.$$

Méthodes de combinatoire analytique

[Pemantle, Wilson] pour trouver

l'asymptotique des coefficients (analyse de singularités de  $F$ ).

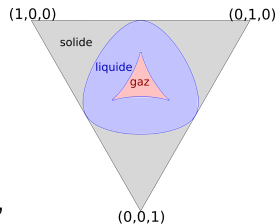


# Formes limites

Dans les conditions initiales périodiques,  
on considère une configuration aléatoire  $\sigma$ .  
Pour un point  $z \in I$ , on définit une **observable**

$$\rho(z) = \mathbb{E} \left[ n_z(\sigma) + \frac{1}{2(1+R)} \sum_{f \sim z} \epsilon_f(\sigma) \right]$$

où  $n_z(\sigma)$  est la puissance de  $g_z$  dans le poids de  $\sigma$ ,  
et  $\epsilon_f(\sigma)$  la puissance de  $X_f$ .

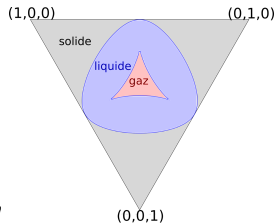


# Formes limites

Dans les conditions initiales périodiques, on considère une configuration aléatoire  $\sigma$ . Pour un point  $z \in I$ , on définit une **observable**

$$\rho(z) = \mathbb{E} \left[ n_z(\sigma) + \frac{1}{2(1+R)} \sum_{f \sim z} \epsilon_f(\sigma) \right]$$

où  $n_z(\sigma)$  est la puissance de  $g_z$  dans le poids de  $\sigma$ , et  $\epsilon_f(\sigma)$  la puissance de  $X_f$ .



## Théorème [M. 2018]

Pour les conditions initiales périodiques de longueur  $N$ , et  $z = (\lfloor Nu \rfloor, \lfloor Nv \rfloor, \lfloor Nw \rfloor)$ , avec  $N \rightarrow \infty$ ,

- si  $[u : v : w]$  est dans la région solide,  $\rho(z) \sim \text{cste } e^{-\kappa_{uvw} N}$ ,
- si  $[u : v : w]$  est dans la région liquide,  $\rho(z) \sim \text{cste } N^{-\theta_{uvw}}$ ,
- si  $[u : v : w]$  est dans la région gazeuse,  $\rho(z) \rightarrow \frac{1}{3}$ ,

où  $\kappa_{uvw}, \theta_{uvw}$  sont des taux explicites.



## Question

Existe-t-il un lien direct entre modèle d'Ising et boucles bicolores ?

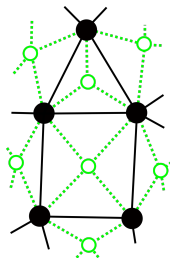
## Question

Existe-t-il un lien direct entre modèle d'Ising et boucles bicolores ?

Soit  $G = (V, E)$  un graphe fini, planaire, muni d'un modèle d'Ising avec poids  $(x_e = \exp(-2J_e))_{e \in E}$ . On considère le modèle de boucles  $C_2^{(1)}$  sur  $G^\diamond$  avec poids locaux

$$\lambda = (a_e^2, b_e^2, a_e, b_e, a_e b_e)_{e \in E},$$

où  $a_e = \tanh 2J_e$ ,  $b_e = (\cosh 2J_e)^{-1}$ .



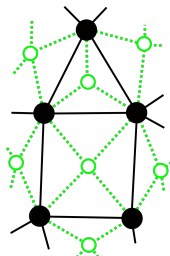
## Question

Existe-t-il un lien direct entre modèle d'Ising et boucles bicolores ?

Soit  $G = (V, E)$  un graphe fini, planaire, muni d'un modèle d'Ising avec poids  $(x_e = \exp(-2J_e))_{e \in E}$ . On considère le modèle de boucles  $C_2^{(1)}$  sur  $G^\diamond$  avec poids locaux

$$\lambda = (a_e^2, b_e^2, a_e, b_e, a_e b_e)_{e \in E},$$

où  $a_e = \tanh 2J_e, b_e = (\cosh 2J_e)^{-1}$ .



## Théorème [M. 2018]

$$(Z_{\text{Ising}}(G, J))^4 = \left( 2^{2|V|} \prod_{e \in E} \cosh^2 2J_e \right) Z_{C_2^{(1)}}(G^\diamond, \lambda).$$

# Lien $C_2^{(1)}$ - Ising

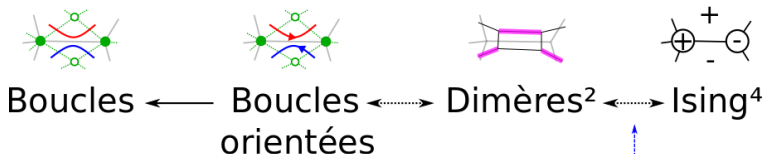
## Question

Existe-t-il un lien direct entre modèle d'Ising et boucles bicolores ?

## Théorème [M. 2018]

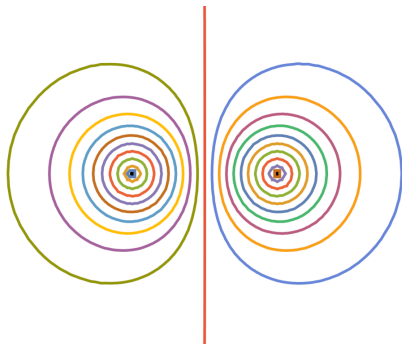
$$(Z_{\text{Ising}}(G, J))^4 = \left( 2^{2|V|} \prod_{e \in E} \cosh^2 2J_e \right) Z_{C_2^{(1)}}(G^\diamond, \lambda).$$

Preuve :



Dubédat 2011  
Boutillier, de Tilière 2014

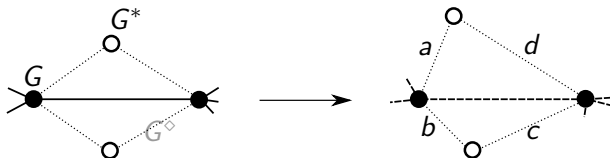
# III - Transformation « triangle-étoile » en géométrie discrète



Travail en commun avec Sanjay Ramassamy et Paul Thévenin.

# Plongements de graphes

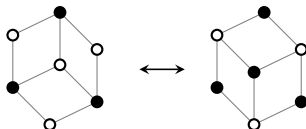
Soit  $G$  un graphe planaire, on cherche des plongements naturels de  $G$  et son dual  $G^*$  (i.e. des plongements de  $G^\diamond$ ).



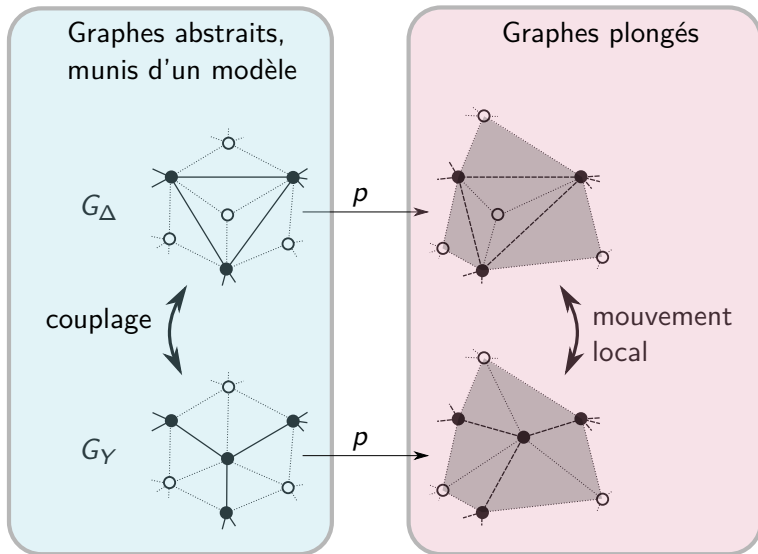
**Exemple 1** : *certain*s graphes peuvent être plongés en un graphe de losanges : toute face de  $G^\diamond$  est envoyée sur un quadrilatère t.q.

$$a = b = c = d.$$

Triangle-étoile :

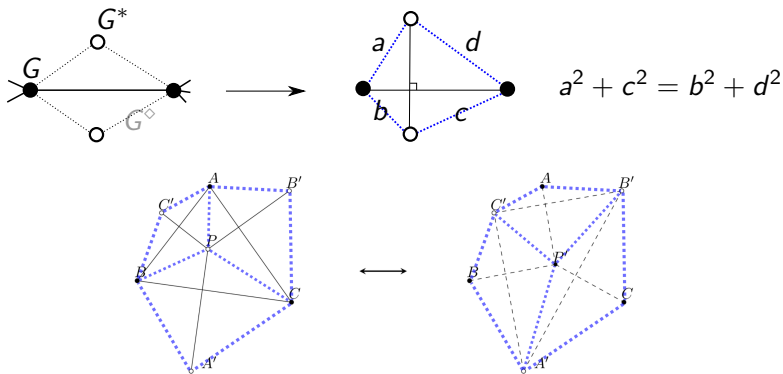


# Plongement $p$ ayant la propriété de flip



# Plongements de graphes et triangle-étoile

**Exemple 2 :** plongements de Tutte.



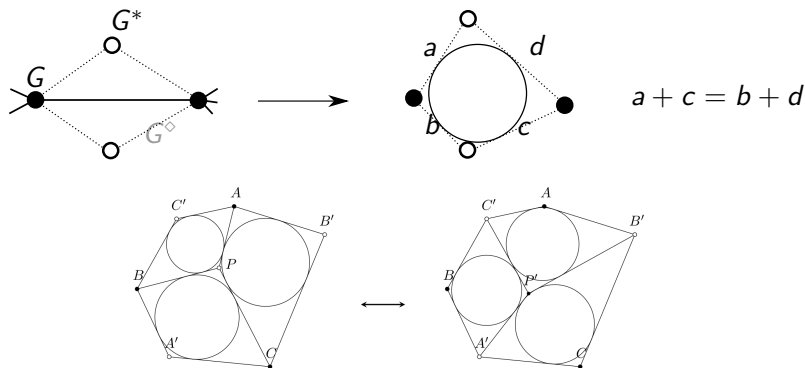
**Théorème [Steiner ; Kenyon, Lam, Ramassamy, Russkikh 2018]**

Pour tout plongement de Tutte de  $G_\Delta^\diamond$ , il existe un unique point  $P'$  qui donne un plongement de Tutte de  $G_Y^\diamond$ .



# Plongements de graphes et triangle-étoile

**Exemple 3** :  $s$ -plongements pour le modèle d'Ising [Chelkak 2017].

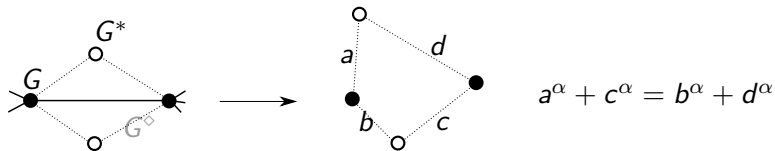


**Théorème [M., Ramassamy, Thévenin 2019]**

Pour tout  $s$ -plongement propre de  $G_\Delta^\diamond$ , il existe un unique point  $P'$  qui donne un  $s$ -plongement propre de  $G_Y^\diamond$ .

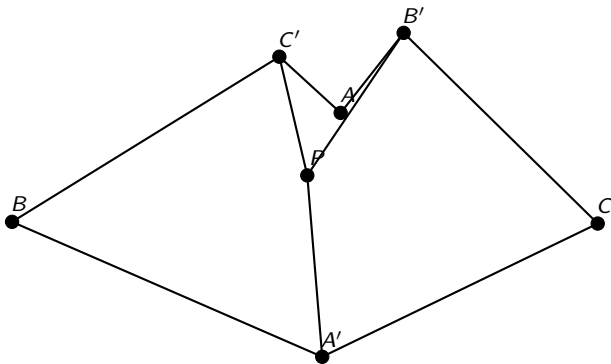
# Plongements de graphes et triangle-étoile

**Exemple 4 :**  $\alpha$ -plongements.

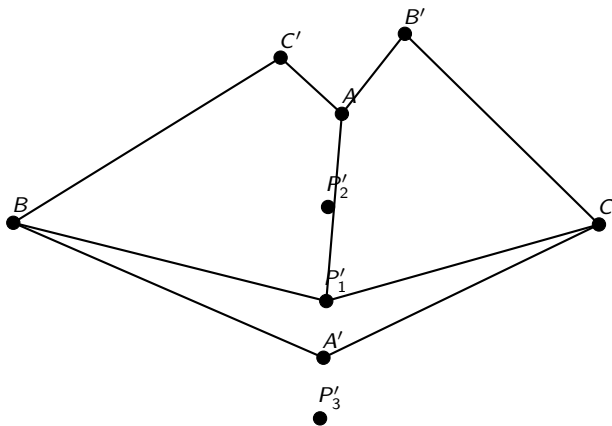


La définition s'étend à  $\alpha \in \mathbb{R} \cup \{-\infty, +\infty\}$ .

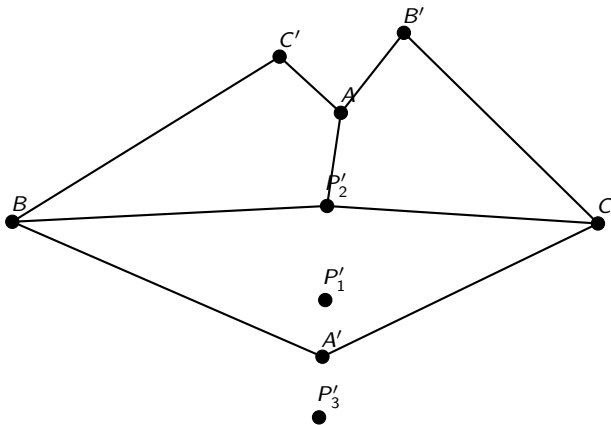
$$\alpha = 4.3$$



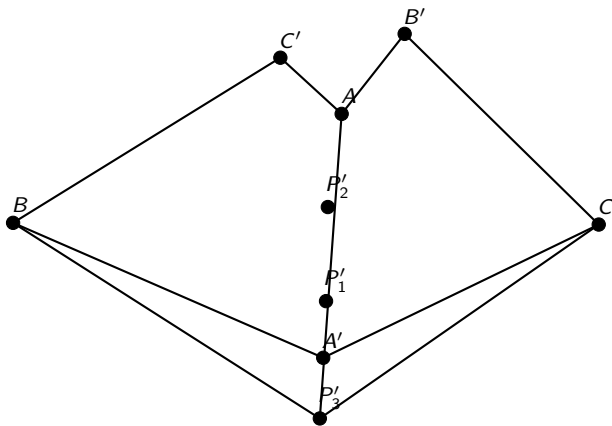
$$\alpha = 4.3$$



$$\alpha = 4.3$$

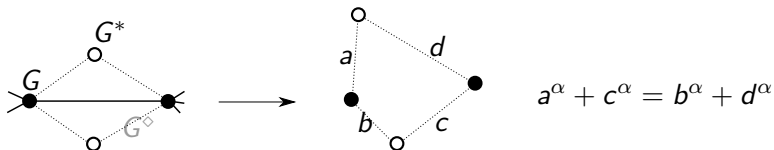


$$\alpha = 4.3$$



# Plongements de graphes et triangle-étoile

**Exemple 4** :  $\alpha$ -plongements.



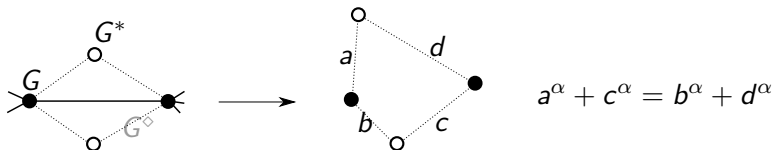
**Théorème [M., Ramassamy, Thévenin 2019]**

**Si**  $\alpha > 1$ ,

Pour toute  $\alpha$ -réalisation de  $G_\Delta^\diamond$ , il existe un **unique** point  $P'$  qui donne une  $\alpha$ -réalisation de  $G_Y^\diamond$ .

# Plongements de graphes et triangle-étoile

**Exemple 4** :  $\alpha$ -plongements.



**Théorème [M., Ramassamy, Thévenin 2019]**

**Si**  $\alpha > 1$ ,

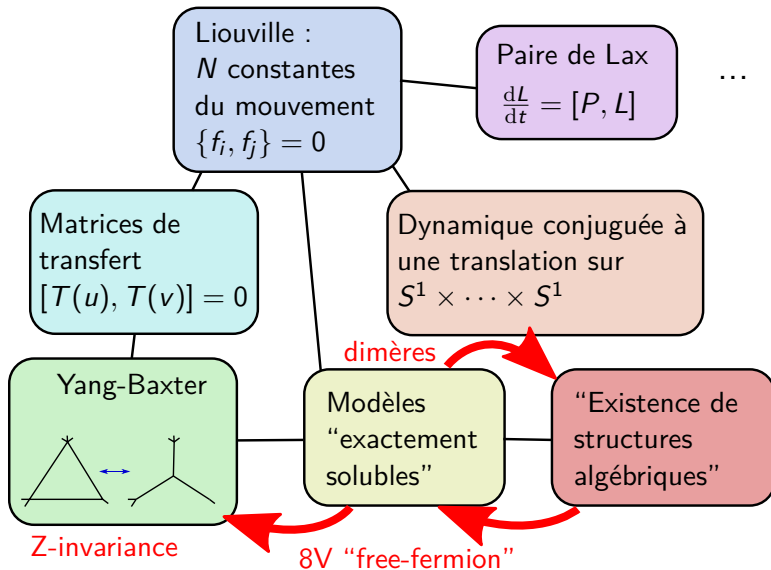
Pour toute  $\alpha$ -réalisation de  $G_\Delta^\diamond$ , il existe un **unique** point  $P'$  qui donne une  $\alpha$ -réalisation de  $G_Y^\diamond$ .

**Question**

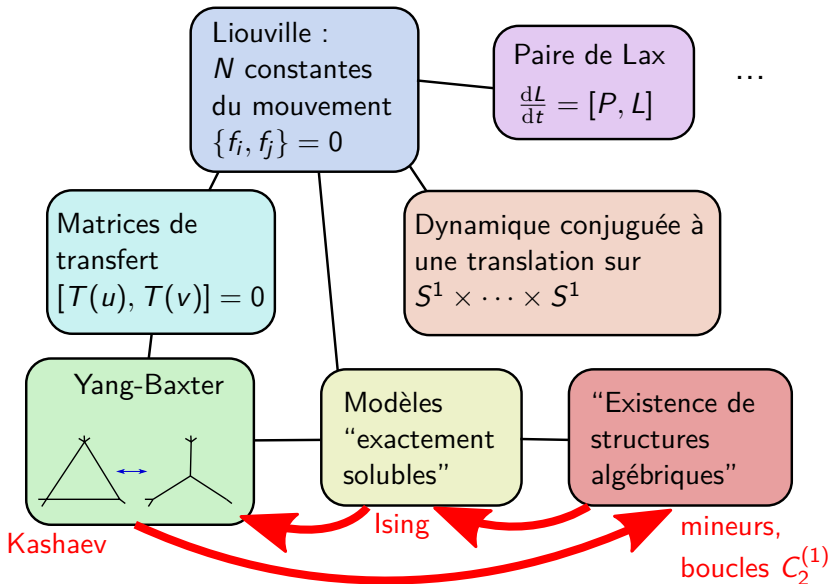
Modèle de mécanique statistique intégrable associé ?



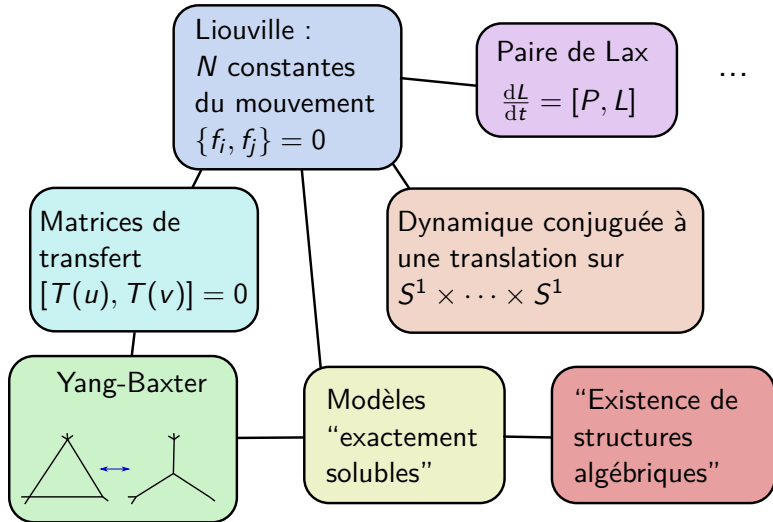
# « Intégrables » ?...




# « Intégrables » ?...



# « Intégrables » ?...



  $\alpha$ -plongements ?

